

ПЕРЕМЕННЫЕ ЗВЕЗДЫ

Том 10

№ 5 (89)

1955

Электрофотометрия затменной переменной
V 505 Стрельца

H. Л. Магалашвили, H. A. Размадзе

В течение 1949—1953 гг. были проведены фотоэлектрические наблюдения затменной переменной V 505 Sgr. Эффективная длина волны применяемой аппаратуры 420 мк. Всего получено 134 измерения блеска переменной: из них 43 — в главном минимуме, 26 — во вторичном. Амплитуда изменения блеска в главном минимуме равна 1.17 звездной величины, а во вторичном 0.12 звездной величины. На кривой блеска V 505 Sgr заметны эффекты фазы и эллиптичности. Ректификация кривой блеска производилась в интенсивностях. Ректифицированная кривая решалась в гипотезе U новым методом Пиотровского. Полученные элементы и ошибки их определения приведены в таблице 2. Теоретическая кривая блеска, построенная на основе данных таблицы 2, достаточно хорошо проходит среди наблюдений.

Photoelectric observations of the eclipsing variable V 505 Sgr were carried out in 1949—1953 ($\lambda_{\text{eff}} = 420 \text{ m}\mu$). 134 estimates of its brightness were obtained, out of which 43 in Min I and 26 — in Min II. The amplitude of light variation in Min I is $1^m 17$, in Min II — $0^m 12$. Effects of the phase and of ellipticity are clearly seen on the light curve of V 505 Sgr.

The rectification of the light curve was carried out in intensities. The new method by Piotrowsky was used for the solution of the rectified curve at U-hypothesis. The derived elements with corresponding errors are summarized in Table 2. The theoretical light curve calculated from the data of Table 2 is in a satisfactorily good agreement with observations.

Переменность звезды V 505 Sgr открыл Хофмейстер [1] в 1933 г. Вскоре после открытия Иени и Хофмейстер провели визуальные оценки ее блеска [2]. В дальнейшем эту звезду наблюдал Лаузе [3]. Впервые фотоэлектрические элементы ее получены Слоним [4].

Подробно исследовал эту звезду — впервые на основе фотоэлектрических наблюдений — в двух участках спектра ($\lambda_{\text{eff}} = 523 \text{ m}\mu$, $\lambda_{\text{eff}} = 445 \text{ m}\mu$) в 1951 г. А. В. Софроницкий [5]. На кривых блеска, полученных им, замечен ряд особенностей: 1) различная высота максимумов до и после вторичного минимума, 2) главный минимум шире и глубже для коротковолнового участка спектра, 3) асимметрия вторичного минимума. А. В. Софроницкий объясняет эти особенности действием протяженной атмосферы спутника, исправляет кривые блеска в главном минимуме за счет этого эффекта и затем проводит решение обычными методами.

Спектральную орбиту V 505 Sgr определил Поппер [6]. Он же оценил спектральный класс звезды — A1V. V 505 Sgr мы наблюдали в 1949—1953 г. на звездном электрофотометре, установленном в несмитовском фокусе 33-см рефлектора. Эффективная длина волны применяемой аппаратуры — $\lambda_{\text{eff}} = 420 \text{ m}\mu$. Звездой сравнения служила звезда BD — 15°5484, расположенная недалеко от переменной и обладающая близким к ней спектральным классом A2. Методика электрофотометрических наблюдений переменных звезд и обработка материала, применяемая на нашей обсерватории, неоднократно были описаны [7]. Всего получено 134 оценки блеска переменной; из них 43 — в главном минимуме, 26 — во вторичном.

Амплитуда изменения блеска в главном минимуме равна $1^m 17$, а во вторичном минимуме — $0^m 12$.

В таблице 3 приведены индивидуальные наблюдения. В первом столбце — моменты наблюдений в юлианских днях, приведенные к центру

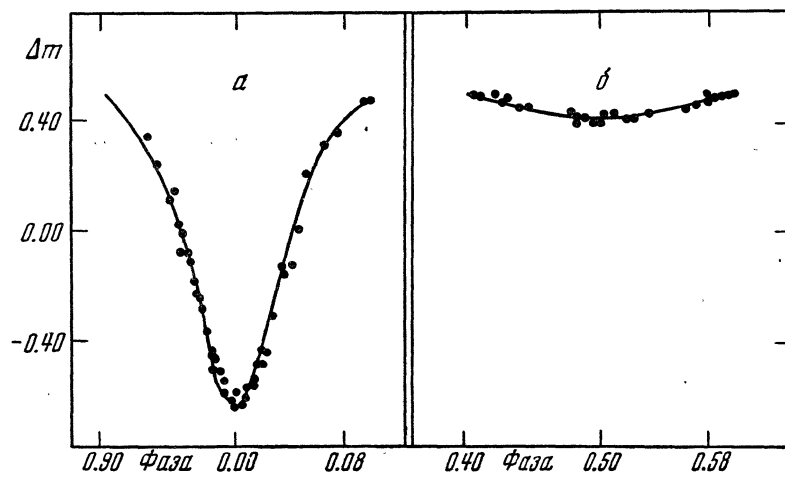


Рис. 27. Представление индивидуальных наблюдений теоретическими кривыми:

a — главный минимум; *б* — вторичный минимум

Солнца, во втором — соответствующие фазы наблюдений и в третьем — разности звездных величин переменной и звезды сравнения.

На кривой блеска V 505 Sgr заметны эффекты фазы и эллиптичности. Никаких следов разности высот максимума до и после вторичного минимума на нашей кривой не заметно, не обнаружена и асимметрия вторичного минимума; во всяком случае, если эти эффекты и есть, то они должны быть меньше точности наших наблюдений. Поскольку кривая в минимумах симметрична, мы построили нормальные точки в минимумах сложением ветвей. Средняя кривая приведена в таблице 1, где последовательно даны среднее значение фазы, среднее значение разности блеска переменной и звезды сравнения и число наблюдений, вошедших в образование нормальной точки.

Таблица 1

Фаза	$\overline{\Delta m}$	<i>n</i>									
0.0025	-0.618	4	0.0877	+ 0.430	3	0.5025	+ 0.408	2	0.6286	+ 0.498	3
.0070	-0.586	4	.1338	+ 0.470	5	.5107	+ 0.412	4	.6495	+ 0.522	4
.0127	-0.513	6	.2237	+ 0.507	3	.5213	+ 0.413	3	.6797	+ 0.532	4
.0192	-0.435	6	.2433	+ 0.522	3	.5440	+ 0.446	2	.7154	+ 0.534	5
.0278	-0.245	5	.2660	+ 0.550	3	.5670	+ 0.456	5	.7450	+ 0.511	4
.0348	-0.132	4	.2833	+ 0.523	3	.5777	+ 0.482	3	.7623	+ 0.506	3
.0413	-0.040	3	.2956	+ 0.504	3	.5880	+ 0.479	4	.7813	+ 0.490	3
.0450	+ 0.057	3	.3390	+ 0.513	4	.5955	+ 0.493	2	.8090	+ 0.503	3
.0526	+ 0.191	3	0.3792	+ 0.496	5	0.6140	+ 0.488	4	0.8475	+ 0.473	4
0.0660	+ 0.335	2									

Ректификация кривой блеска произведена в интенсивностях. Для вывода коэффициентов ректификации составлены уравнения вида

$$l = 1 - a - b \cos \theta - c \cos^2 \theta$$

для всех нормальных точек вне минимумов.

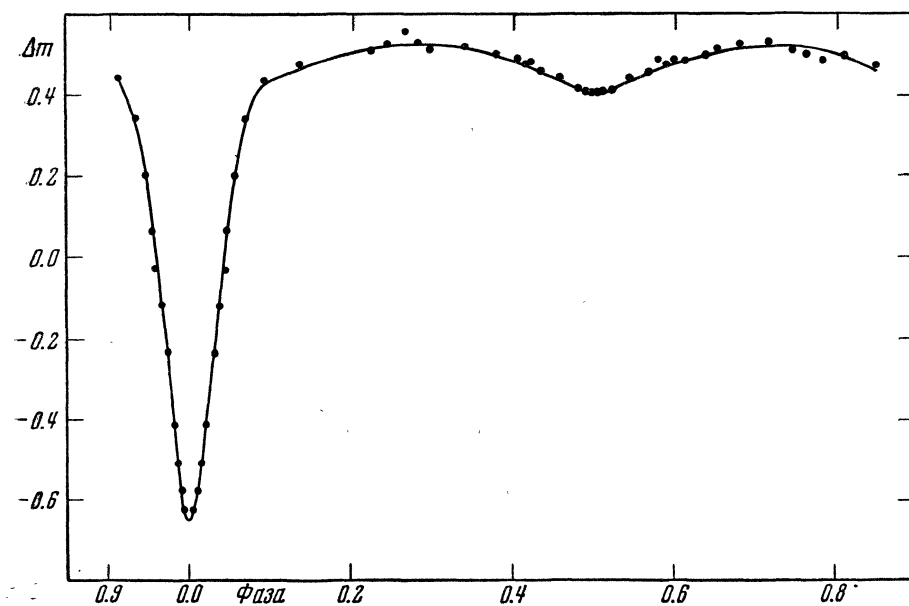


Рис. 28. Представление нормальных точек кривой изменения блеска теоретической кривой

Решение системы этих уравнений по способу наименьших квадратов дало следующие значения коэффициентов:

$$a = -0.0022 \pm 0.0066$$

$$b = 0.0287 \pm 0.0075$$

$$c = 0.0737 \pm 0.0161$$

Для ректификации применена формула [8]:

$$l_{\text{рек}} = \frac{l_{\text{наб}} + A + b \cos \theta - C \cos^2 \theta}{(a + A)(1 - z \cos^2 \theta)^{1/2}},$$

где

$$A = 0.354 \sin i (L_1^* + L_2^*)$$

$$C = 0.11 (L_1^* + L_2^*)$$

$$L_1^* = L_2 a_1^2$$

$$L_2^* = L_1 a_2^2$$

$$z = (c + C)$$

Формула для ректификации принимает следующее численное выражение:

$$l_{\text{рек}} = \frac{l_{\text{наб}} + 0.0406 + 0.0287 \cos \theta - 0.0126 \cos^2 \theta}{1.0428 (1 - 0.1726 \cos^2 \theta)^{1/2}}.$$

Ректифицированная кривая решалась в гипотезе U со значениями фактора эллипсоидальности и глубин минимумов:

$$z = 0.1726, 1 - \lambda' = 0.5800, 1 - \lambda'' = 0.0551.$$

Для решения применен метод Пиотровского [9, 10].

Для каждой нормальной точки главного минимума составлены условные уравнения вида:

$$\sqrt{w}(Ep^2 - E_0 p_0^2) D_1 + 2\sqrt{w}(Ep - E_0 p_0) D_2 = \sqrt{w} \sin^2 \theta, \quad (1)$$

где

$$E = 1 - z \cos^2 \theta, \quad E_0 = 1 - z,$$

$$c_1 = \frac{D_1^2}{D_1 + zD_2^2}, \quad c_2 = \frac{D_1 D_2}{D_1 + zD_2^2},$$

w — веса условных уравнений.

$$\text{Отношение радиусов } k = \frac{c_1}{c_2} = \frac{D_1}{D_2}.$$

Уравнения вида (1) решались по способу наименьших квадратов. С найденным значением k входили в одно из уравнений:

$$\alpha_0 = 1 - \lambda' + \frac{1 - \lambda''}{k^2} B \rightarrow M.$$

$$\alpha_0 = 1 - \lambda'' + \frac{1 - \lambda'}{k^2} M \rightarrow B.$$

С найденными отсюда значениями k и α_0 мы снова решали систему уравнений (1), пока не получили $k = \frac{D_1}{D_2} = K$. Решение получилось только в случае $B \rightarrow M$ в главном минимуме.

Элементы получаются из соотношений:

$$a_1^2 = \frac{c_2^2}{G}, \quad a_2^2 = \frac{c_1^2}{G}, \quad \sin^2 i = \frac{c_1}{G}, \quad G = (c_2 + p_0 c_1)^2 E_0 + c_1.$$

Для вычисления ошибок элементов был применен способ Копала [10]. Полученные элементы приведены в таблице 2.

Таблица 2

$D_1 = 0.707 \pm 0.0142$	$k = 0.859 \pm 0.017$
$D_2 = 0.0823 \pm 0.0024$	$i = 79^\circ 72 \pm 0^\circ 19$
$\alpha_0 = 0.655$	$z = 0.1726$
$a_1 = 0.302 \pm 0.003$	$L_1 = 0.114$
$a_2 = 0.259 \pm 0.009$	$L_2 = 0.886$

Представление индивидуальных наблюдений в минимумах и нормальных точек теоретическими кривыми блеска приведено на рис. 27—28. Теоретическая кривая достаточно хорошо удовлетворяет наблюдениям.

Таблица 3

J. D. \odot	Фаза	Δm	J. D. \odot	Фаза	Δm	J. D. \odot	Фаза	Δm	J. D. \odot	Фаза	Δm
2433...			2433...			2433...			2433...		
145.360	0.229	0.519	147.374	0.932	0.354	162.383	0.620	0.485	193.208	0.680	0.544
.368	0.236	0.529	.385	0.941	0.251	172.246	0.959	-0.012	.212	0.683	0.561
.378	0.244	0.518	.396	0.950	0.417	.252	0.964	-0.090	.283	0.743	0.532
.385	0.250	0.510	.412	0.964	-0.110	.257	0.968	-0.182	208.215	0.367	0.460
.391	0.255	0.530	.423	0.973	-0.288	.263	0.973	-0.249	524.290	0.577	0.484
.423	0.282	0.537	148.332	0.742	0.562	.275	0.983	-0.440	.304	0.589	0.476
146.398	0.107	0.442	.335	0.744	0.505	.280	0.987	-0.502	.308	0.592	0.488
.416	0.122	0.450	149.271	0.535	0.438	.286	0.992	-0.599	.313	0.596	0.491
.425	0.129	0.453	162.324	0.570	0.446	.305	0.008	-0.619	.323	0.605	0.484
147.264	0.839	0.493	.333	0.578	0.465	.312	0.014	-0.562	.331	0.611	0.496
.268	0.842	0.466	.338	0.582	0.470	.348	0.045	0.000	.341	0.620	0.496

Т а б л и ц а 3 (окончание)

J.D. \odot	Фаза	Δm									
2433...			2433...			2434...			2434...		
524.350	0.627	0.510	884.381	0.998	-0.628	262.386	0.564	0.438	664.221	0.275	0.551
525.370	0.490	0.409	.388	0.004	-0.646	263.239	0.285	0.508	.230	0.283	0.524
.386	0.503	0.431	.400	0.014	-0.539	.251	0.295	0.488	.238	0.290	0.511
.392	0.508	0.444	.409	0.022	-0.446	264.218	0.112	0.493	.253	0.302	0.514
.404	0.518	0.405	2434...			.341	0.216	0.500	.266	0.313	0.487
.409	0.523	0.414	240.291	0.884	0.460	.353	0.226	0.503	.278	0.323	0.536
777.485	0.628	0.482	245.268	0.092	0.472	265.219	0.959	-0.084	687.151	0.660	0.526
.489	0.631	0.503	.275	0.098	0.461	.233	0.970	-0.248	.163	0.670	0.516
.491	0.633	0.485	.394	0.199	0.510	.242	0.978	-0.361	.169	0.675	0.520
.493	0.635	0.557	246.286	0.953	0.151	.249	0.984	-0.448	.176	0.681	0.505
808.439	0.796	0.510	.291	0.957	0.020	.255	0.989	-0.518	.191	0.694	0.531
.469	0.822	0.496	.328	0.988	-0.472	.267	0.999	-0.594	.195	0.697	0.521
.473	0.825	0.472	.335	0.994	-0.554	.275	0.006	-0.570	.202	0.703	0.534
881.259	0.359	0.515	.364	0.019	-0.481	.282	0.012	-0.484	693.161	0.741	0.521
.262	0.361	0.514	.384	0.035	-0.148	.290	0.019	-0.432	.164	0.744	0.504
.272	0.370	0.498	262.221	0.424	0.486	.298	0.025	-0.318	.171	0.749	0.502
.276	0.373	0.514	.230	0.432	0.484	.304	0.030	-0.124	.176	0.753	0.501
.297	0.394	0.503	.240	0.440	0.448	.318	0.042	-0.024	.187	0.763	0.516
.302	0.395	0.505	.248	0.447	0.455	.326	0.049	0.206	.196	0.771	0.502
.314	0.405	0.495	.284	0.477	0.421	.344	0.064	0.316	.203	0.777	0.493
.319	0.409	0.482	.291	0.483	0.400	.354	0.073	0.357	.210	0.782	0.493
.335	0.423	0.492	.301	0.492	0.396	664.212	0.268	0.539	.213	0.785	0.485
.339	0.426	0.468	.309	0.498	0.385						

Л и т е р а т у р а

1. C. Hoffmeister, AN 250, 47, 1933.
2. C. Hoffmeister, AN 251, 321, 1934.
3. F. Lause, AN 266, 17, 1938.
4. Ю. Слоним, AN 253, 367, 1934.
5. A. B. Софроницкий, Изв. Гл. астр. обс. в Пулкове, т. XIX, 4, № 151, 1953.
6. D. Popper, ApJ 109, 106, 1949.
7. Н. Л. Магалашвили, Бюлл. Абастум. обс. № 10, 1947.
8. Д. Я. Мартынов, Переменные звезды, т. III, 399, 1947.
9. S. Piotrowski, ApJ 108, 36—45, 1948.
10. Z. Kopal, Harvard Monographs № 8, 1950.

Абастуманская астрофизическая обсерватория
Декабрь 1954 г.